

## PRÉSENTATION ORALE DU STAGE

---

# DÉBRUITAGE POUR L'IMAGERIE HYPERSPECTRALE

Le 29 août 2019

# PLAN

1. Contexte du stage
2. Présentation du sujet et de la problématique
3. Méthodes utilisées et les modèles mathématiques associés
4. Validation de l'algorithme A-BM3D
5. Résultats sur les données réelles
6. Généralisation de la démarche aux différentes natures de bruit
7. Conclusion
8. Améliorations et changements possibles

# CONTEXTE DU STAGE

- ▶ Encadré par Nathalie Brun (CNRS CRCN)
  - ▶ Équipe de Microscopie Électronique : STEM
  - ▶ Laboratoire de Physique des Solides, CNRS à Orsay
- ▶ Collaboration avec une Équipe de Signal et Communications
  - ▶ Institut de Recherche en Informatique de Toulouse
  - ▶ INP - ENSEEIHT



# PRÉSENTATION DU SUJET

- ▶ Microscopie électronique :
  - ▶ Techniques expérimentales : détection des signaux issus de l'interaction d'un faisceau électronique avec la matière contenue d'un échantillon
  - ▶ Informations **structurales** et/ou **spectroscopiques**
- ▶ Signaux intéressants : **électrons diffusés inélastiquement**  $\Rightarrow$  EELS

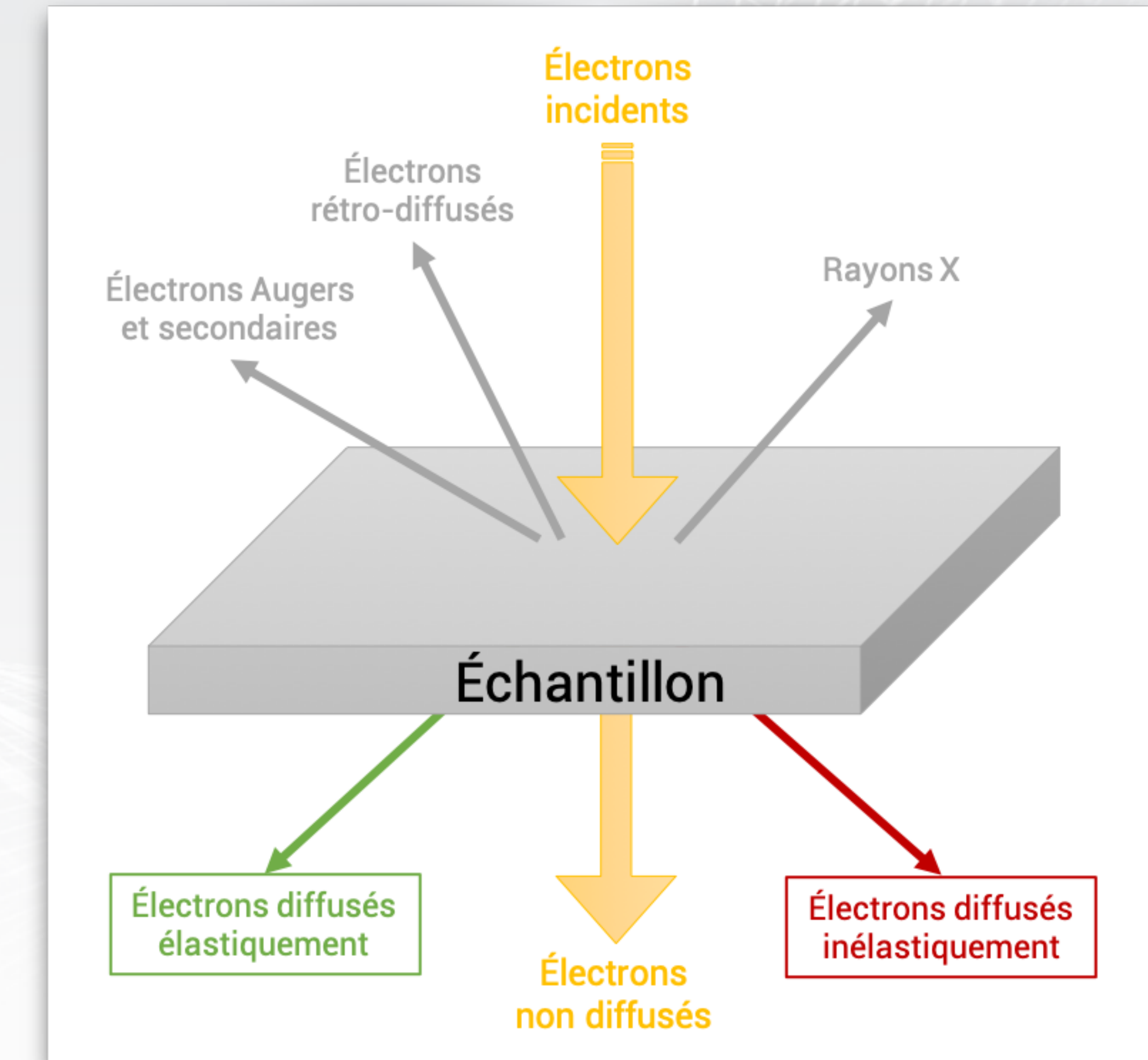


Figure 1 : Signaux émis lors de l'interaction d'un faisceau électronique avec la matière

# PRÉSENTATION DU SUJET

- ▶ Spectroscopie **EELS** (Electron Energy Loss Spectroscopy)
  - ▶ Mesure de la quantité d'énergie perdue par les électrons incidents sur l'échantillon
  - ▶ La sonde balaie une zone choisie de l'échantillon
  - ▶ Chaque position de la sonde donne un spectre
- ▶ **Spectre** = courbe des pertes d'énergie
- ▶ Identifier la nature chimique des éléments présents dans l'échantillon (**carte chimique**)

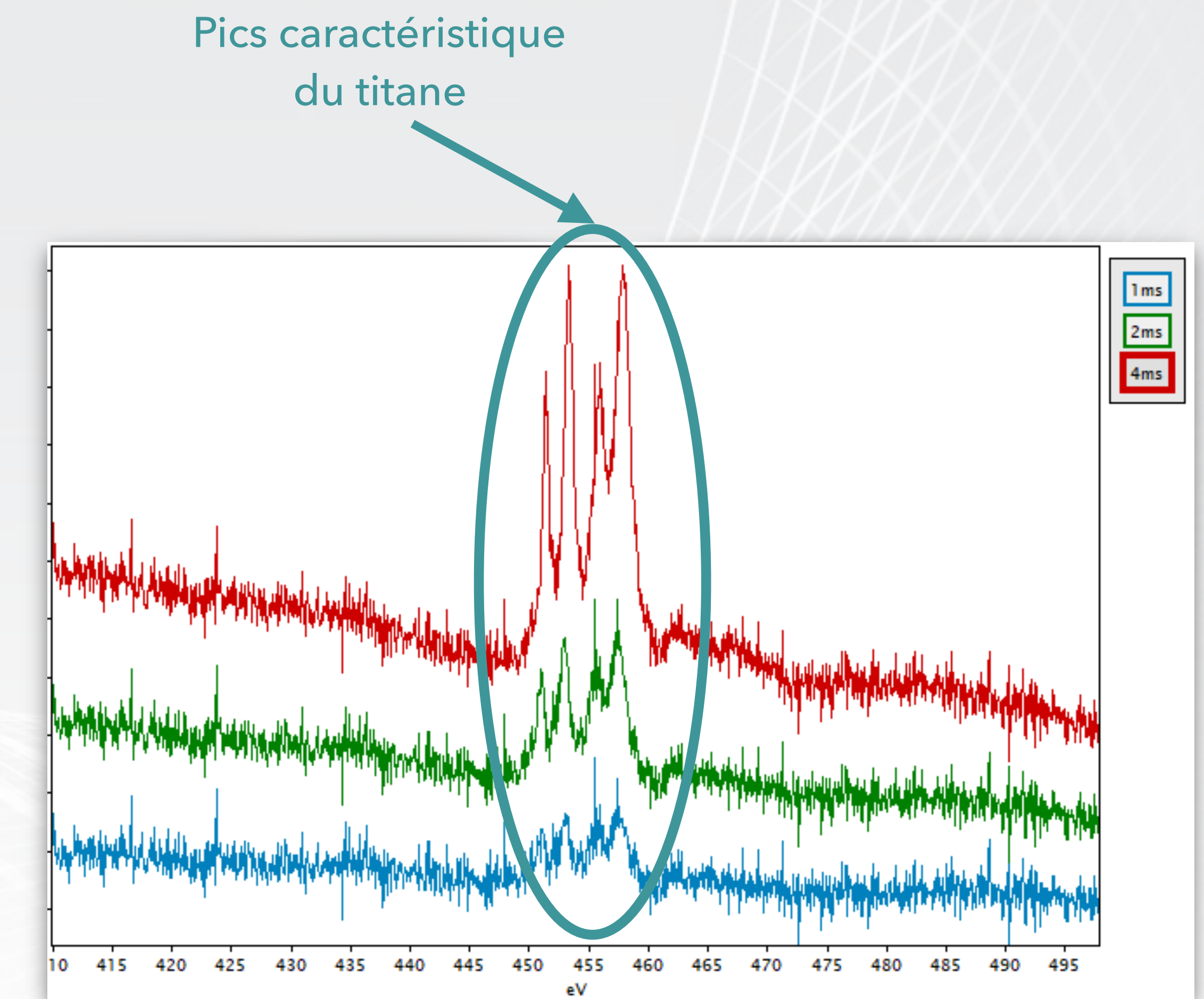


Figure 2 : Exemples de spectres pour différents temps d'acquisition

## PRÉSENTATION DU SUJET

- ▶ Quatre microscopes : différentes caractéristiques et des champs d'application spécifiques
- ▶ Microscope **STEM** (Scanning Transmission Electron Microscope) : analyse structurale et chimique (EELS), résolution de 1 nm à moins de 0.1 nm
- ▶ Deux microscopes STEM :
  - ▶ Différentes résolutions spatiales et spectrales
  - ▶ Différentes caméras d'acquisition
- ▶ Endommagement des échantillons :
  - ▶ Temps d'acquisition et courant du faisceau électronique limités
  - ▶ Les données des échantillons fragiles/sensibles sont très bruitées

# PRÉSENTATION DU SUJET

- ▶ Quatre microscopes : différentes caractéristiques et des champs d'application spécifiques
  - ▶ Microscope **STEM** (Scanning Transmission Electron Microscope) : analyse structurale et chimique (EELS), résolution de 1 nm à moins de 0.1 nm
  - ▶ Deux microscopes STEM :
    - ▶ Différentes résolutions spatiales et spectrales
    - ▶ Différentes caméras d'acquisition
  - ▶ Endommagement des échantillons :
    - ▶ Temps d'acquisition et courant du faisceau électronique limités
    - ▶ Les données des échantillons fragiles/sensibles sont très bruitées
- 
- Données différentes : signal ou bruit

# PRÉSENTATION DES DONNÉES À TRAITER

- ▶ Image hyperspectrale ou hypercube ou **Spim** :
  - ▶  $L$  = nombre de lignes
  - ▶  $C$  = nombre de colonnes
  - ▶  $P = L \times C$  = nombre de pixels
  - ▶  $B$  = nombre de bandes/spectres
- ▶ Balayage sur le dessus du cube
- ▶ Deux types d'informations à débruiter :
  - ▶ Spatiales
  - ▶ Spectrales

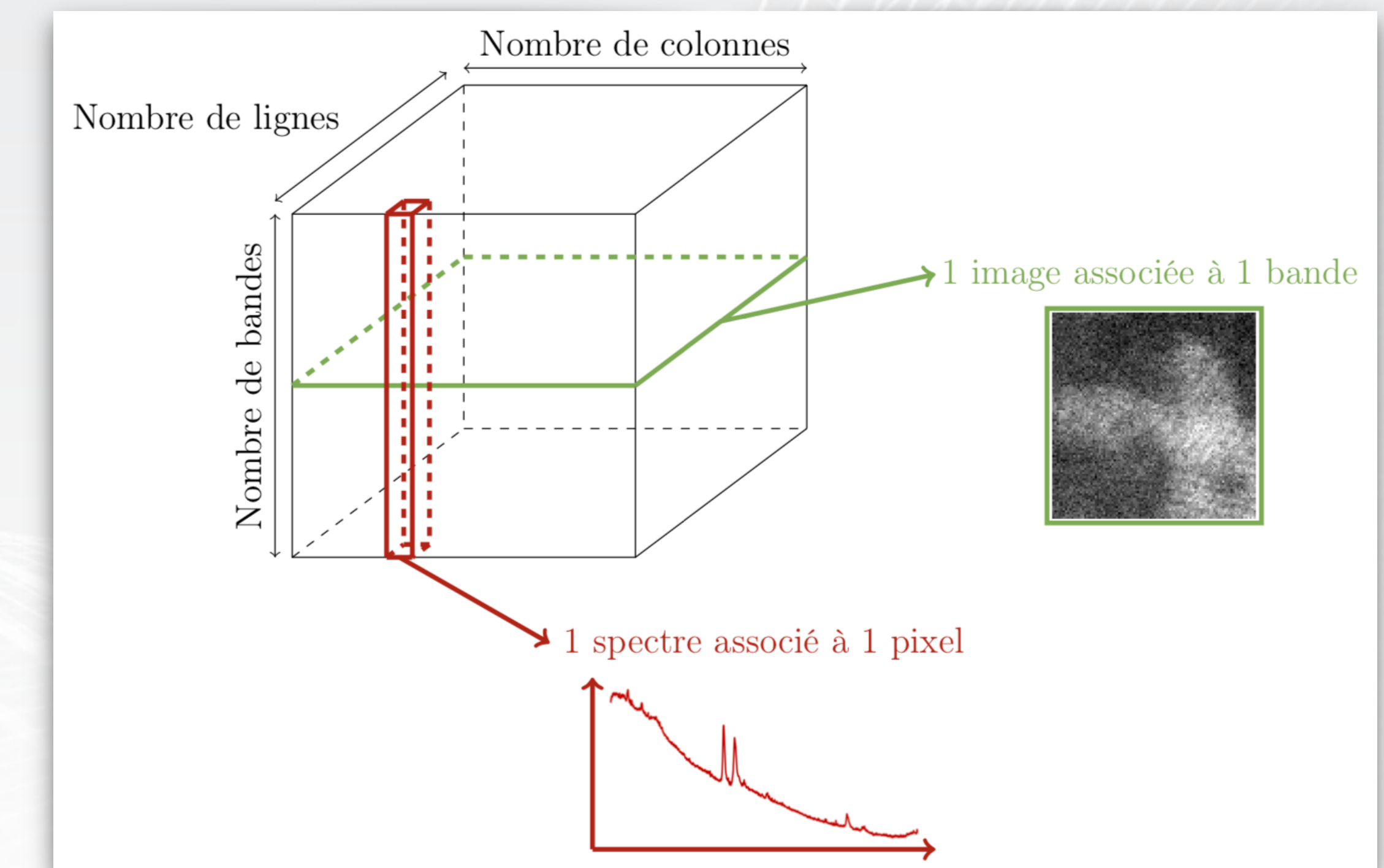


Figure 3 : Schéma de l'hypercube

## EXEMPLES D'IMAGES

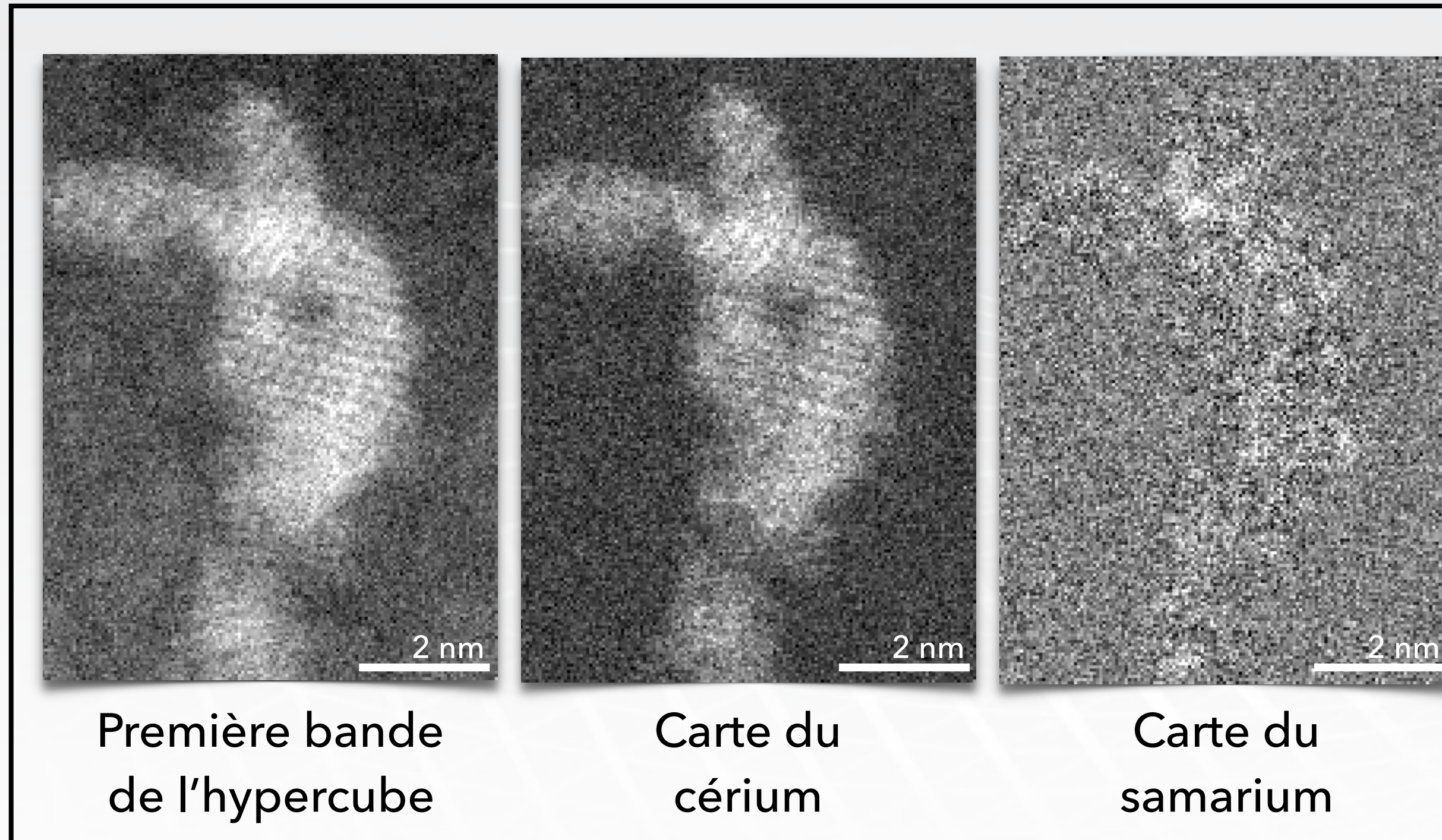


Figure 4 : Différentes images du Spim SmCeO<sub>2</sub>

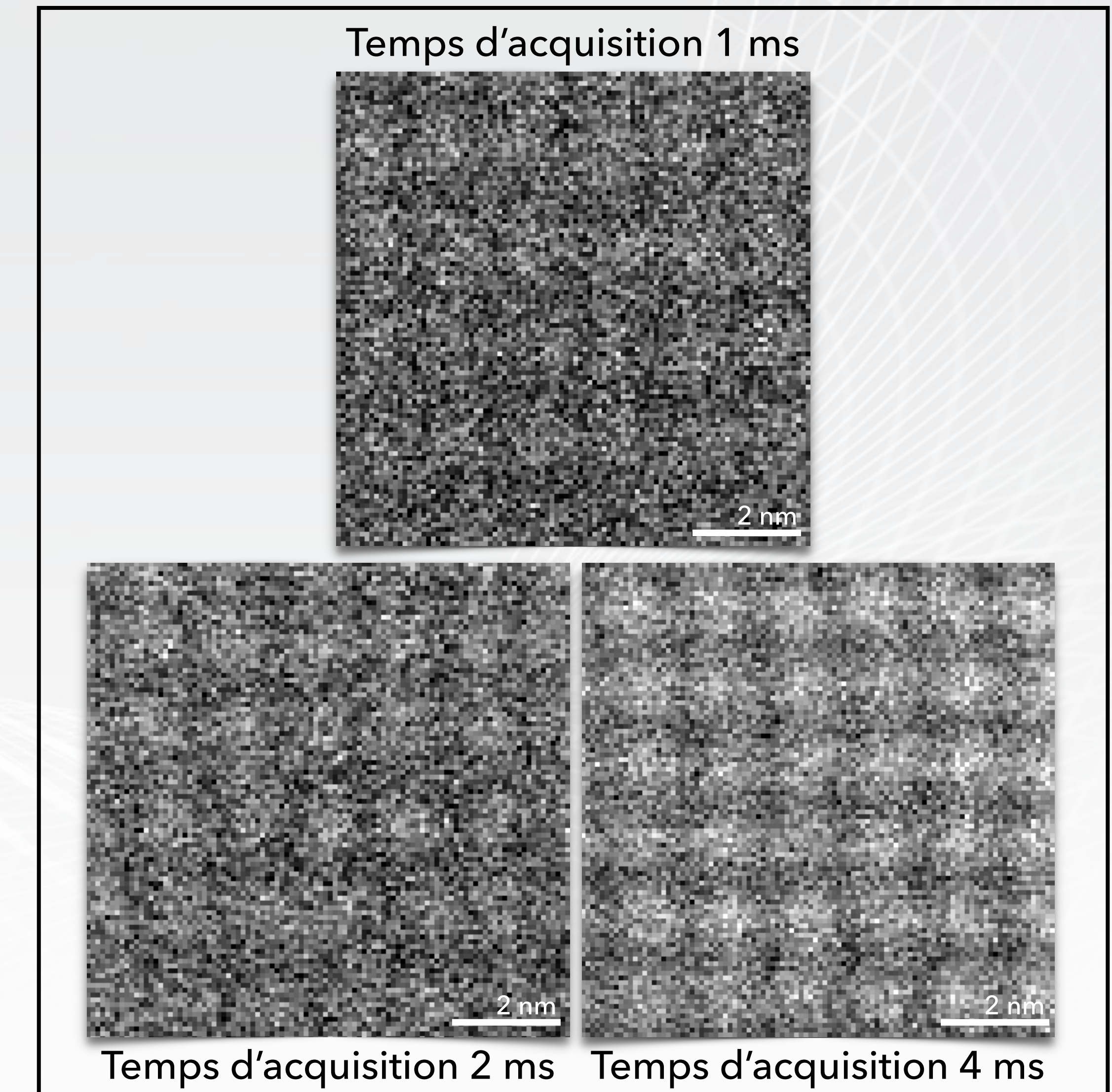


Figure 5 : Carte du titane pour différents temps d'acquisition

# DÉBRUITAGE

- De nombreuses méthodes existent :

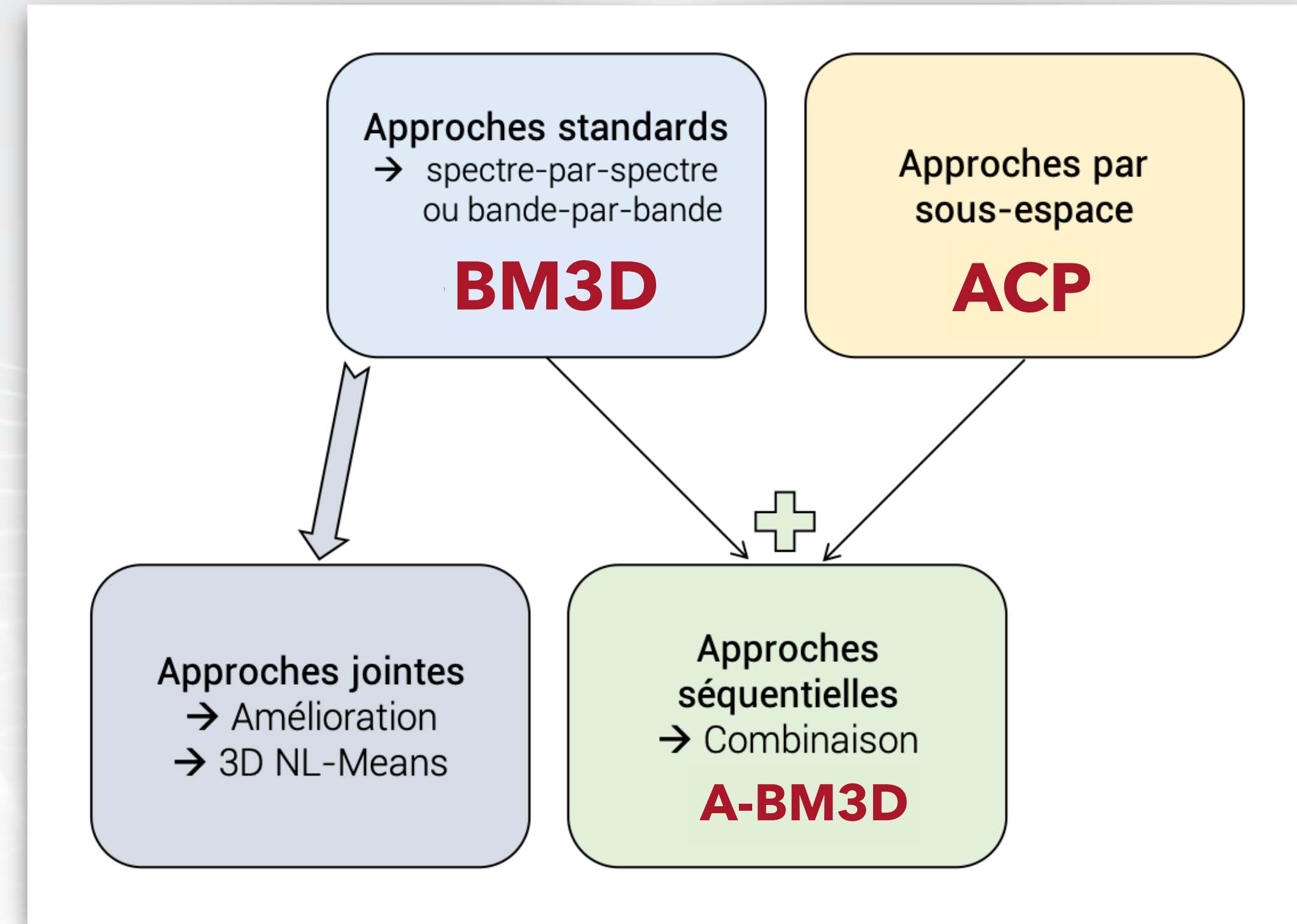


Figure 6 : Schéma récapitulatif des différentes approches de débruitage

- ACP** : plutôt simple à paramétrier et à utiliser
- Objectif : tester des méthodes qui ont plus de paramètres, plus délicats à déterminer

# MODÈLES MATHÉMATIQUES

- ▶ La matrice  $Y$  :
  - ▶ Elle contient les données bruitées de l'hypercube redimensionné en 2D
  - ▶ Elle est de taille  $P$  lignes et  $B$  colonnes ( $P = \text{nb. de pixels}$ ,  $B = \text{nb. de bandes}$ )
- ▶ La matrice  $X$  est inconnue et correspond aux données non bruitées
- ▶ Estimation de  $X$  afin de débruiter  $Y$  :  $\widehat{X} = f_\theta(Y)$

# MODÈLES MATHÉMATIQUES

- ▶ La matrice  $Y$  :
  - ▶ Elle contient les données bruitées de l'hypercube redimensionné en 2D
  - ▶ Elle est de taille  $P$  lignes et  $B$  colonnes ( $P = \text{nb. de pixels}$ ,  $B = \text{nb. de bandes}$ )
- ▶ La matrice  $X$  est inconnue et correspond aux données non bruitées
- ▶ Estimation de  $X$  afin de débruiter  $Y$  :  $\widehat{X} = f_\theta(Y)$
- ▶ Bruit gaussien additif :  $Y = X + \varepsilon$  où  $\varepsilon \sim \mathcal{N}(0, \sigma^2)$
- ▶ Bruit poissonien :  $Y = \mathcal{P}(X)$
- ▶ Bruit mixte, poissonien et gaussien :  
$$Y = \alpha \mathcal{P}(X) + \varepsilon \quad \text{avec } \alpha > 0 \text{ et } \varepsilon \text{ bruit gaussien additif}$$

## DÉBRUITAGE SPATIAL STANDARD

- ▶ Elles débruitent les informations spatiales
- ▶ Choix d'une méthode à patchs : **BM3D**<sup>1</sup>
  - ▶ Application bande-par-bande
  - ▶ Nécessite 1 paramètre : l'écart-type estimé du bruit (**noté sigma**)
  - ▶ Adapté au bruit gaussien additif

## DÉBRUITAGE SPATIAL STANDARD

- ▶ Elles débruitent les informations spatiales
- ▶ Choix d'une méthode à patchs : **BM3D**
  - ▶ Application bande-par-bande
  - ▶ Nécessite 1 paramètre : l'écart-type estimé du bruit (**noté sigma**)
  - ▶ Adapté au bruit gaussien additif
- ▶ Pour estimer l'écart-type du bruit : **Median Absolute Déviation (MAD)**
  - ▶ Statistique robuste en présence de données aberrantes
  - ▶ MAD calculé sur une bande sélectionnée :

$$\text{MAD}(Y^b) = \text{med}(|Y_p^b - \text{med}(Y^b)|) \quad (1)$$

- ▶ Estimation de l'écart-type :

$$\hat{\sigma}_\varepsilon = 1.4826 \times \text{MAD}(Y^b) = \text{MAD}(Y^b) / 0.67448 \quad (2)$$

## ALGORITHME BM3D

- a) Création de plusieurs **patchs** sur l'image (ils peuvent se recouvrir)
- b) Pour chaque patch donné : empilement des patchs similaires dans un tableau 3D (**groupe**)

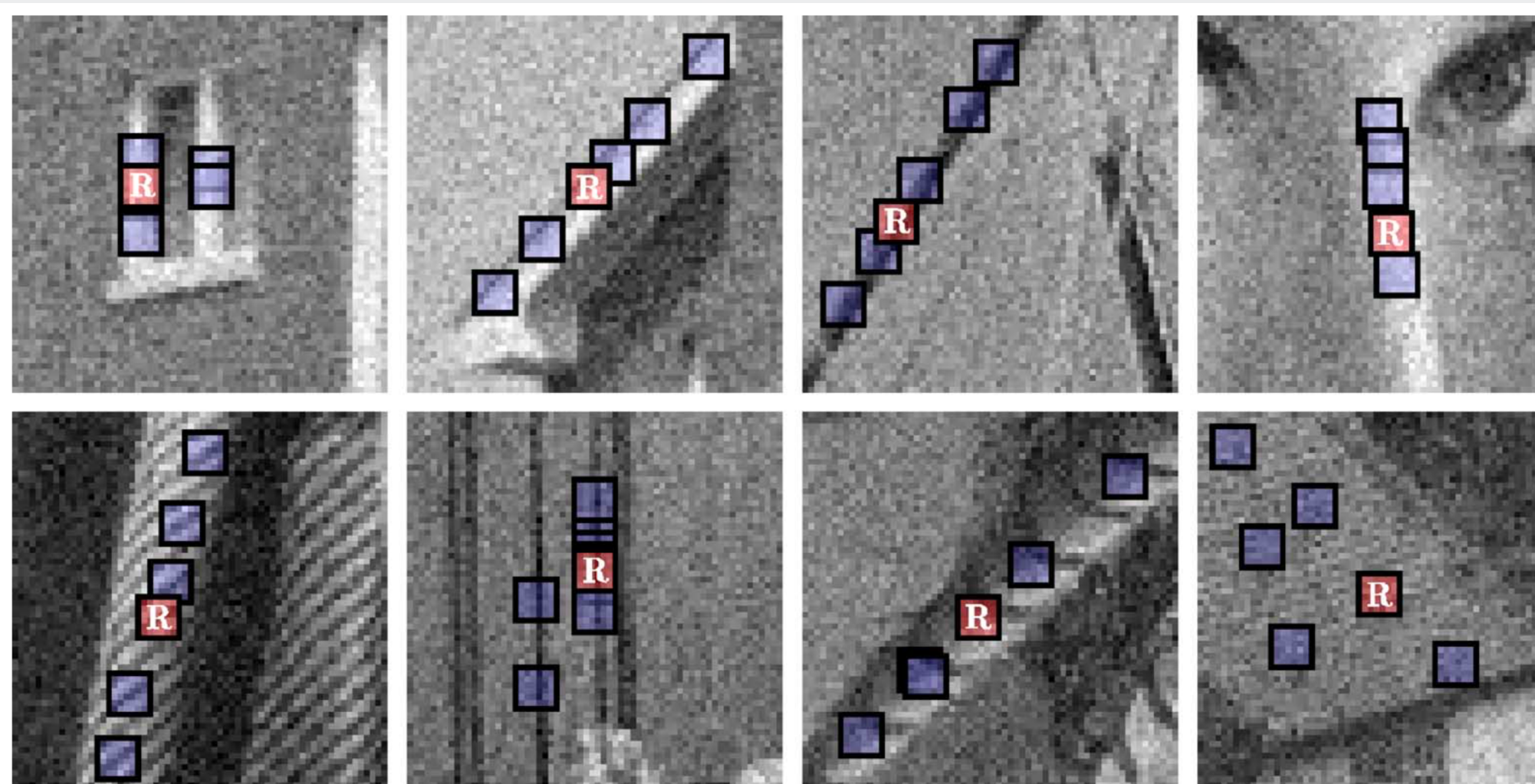


Figure 7 : Exemples des étapes a) et b) de l'algorithme de BM3D

- c) Pour chaque groupe formé : estimation de ce type de patch par **filtrage collaboratif**
- d) Renvoie des estimations à leur emplacement d'origine
- e) **Agrégation** des estimations qui se chevauchent afin d'obtenir une estimation de l'image entière

## ALGORITHME BM3D

- ▶ ATTENTION ! Les données bruitées doivent être incluses dans [0,1] ou [0,255] :

$$Y' = \frac{Y - \min Y}{\max (Y - \min Y)} \quad (3)$$

- ▶ Estimation réalisée par MAD doit être modifiée également, dans [0,255] :

$$\text{sigma} = \frac{255 \times \hat{\sigma}_\varepsilon}{\max (Y - \min Y)} \quad (4)$$

## FILTRAGE DU SIGNAL : DÉBRUITAGE SPECTRAL

- ▶ Prendre en compte la corrélation spectrale
- ▶ Une méthode : l'**Analyse en Composantes Principales**
  - ▶ Composantes principales : porteuses de l'information importante = le signal
  - ▶ Composantes non retenues : porteuses du bruit
  - ▶ Débruite les informations spectrales et projette les données dans un espace de dimension inférieure
- ▶ Démarche mathématique :
  - ▶ ACP classique avec le calcul des valeurs et vecteurs propres de la matrice de corrélation
  - ▶ Projection des données bruitées dans l'espace choisi (***K* le nombre de composantes**)
  - ▶ Application de l'algorithme de débruitage spatial standard (BM3D)
  - ▶ Puis **ACP inverse** :

$$\hat{Y} = (Y - \bar{Y}_b) \cdot VV^T + \bar{Y}_b \quad \text{où} \quad \bar{Y}_b = \frac{1}{P} \sum_{p=1}^P Y_{p,b} \quad (5)$$

# VALIDATION DE L'ALGORITHME

# DONNÉES SYNTHÉTIQUES

- ▶ Spim synthétique fourni par Étienne Monier (IRIT, Toulouse)
- ▶ Éléments chimiques : oxygène (O), lanthane (La), nickel (Ni) et néodyme (Nd)

- ▶ Simulation des trois natures de bruit :
  - ▶ gaussien additif
  - ▶ poissonnien
  - ▶ mixte

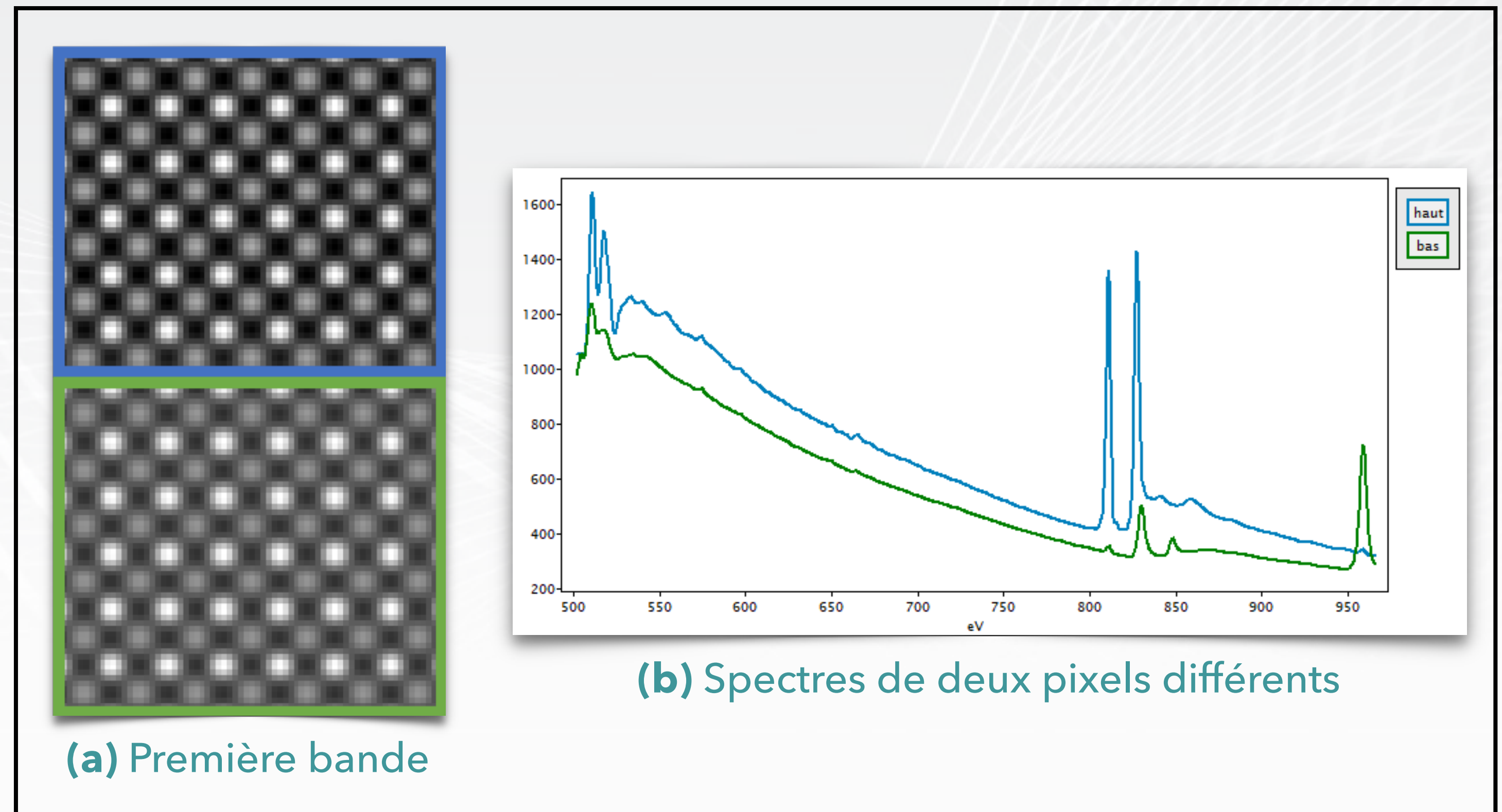


Figure 8 : Présentation du Spim synthétique

## CALCULS D'ERREURS

- ▶ Trois formules pour  $X, Y \in \mathcal{M}_{P,B}$  ou  $U, V \in \mathbb{R}^N$ :

- ▶ Erreur quadratique moyenne :

$$\text{EQM}(X, Y) = \frac{1}{PB} \sum_{p=1}^P \sum_{b=1}^B (X_p^b - Y_p^b)^2 \quad (6)$$

- ▶ Signal-to-noise ratio :

$$\text{SNR}(U, V) = 10 \log_{10} \left( \frac{\|U\|_2^2}{\|U - V\|_2^2} \right) \quad (7)$$

- ▶ Structural similarity index :

$$\text{SSIM}(U, V) = \frac{(2\mu_U\mu_V + c_1)(2\sigma_{UV} + c_2)}{(\mu_U^2 + \mu_V^2 + c_1)(\sigma_U^2 + \sigma_V^2 + c_2)} \quad (8)$$

avec  $\mu_\bullet$  les moyennes,  $\sigma_\bullet$  les variances ou covariance,  $c_1 = (0.01)^2$  et  $c_2 = (0.03)^2$

## CALCULS D'ERREURS

- ▶ Trois formules pour  $X, Y \in \mathcal{M}_{P,B}$  ou  $U, V \in \mathbb{R}^N$ :

- ▶ Erreur quadratique moyenne :

$$\text{EQM}(X, Y) = \frac{1}{PB} \sum_{p=1}^P \sum_{b=1}^B (X_p^b - Y_p^b)^2 \quad (6)$$

- ▶ Signal-to-noise ratio :

$$\text{SNR}(U, V) = 10 \log_{10} \left( \frac{\|U\|_2^2}{\|U - V\|_2^2} \right) \quad (7)$$

- ▶ Structural similarity index :

$$\text{SSIM}(U, V) = \frac{(2\mu_U\mu_V + c_1)(2\sigma_{UV} + c_2)}{(\mu_U^2 + \mu_V^2 + c_1)(\sigma_U^2 + \sigma_V^2 + c_2)} \quad (8)$$

avec  $\mu_\bullet$  les moyennes,  $\sigma_\bullet$  les variances ou covariance,  $c_1 = (0.01)^2$  et  $c_2 = (0.03)^2$

- ▶ **Même comportement des trois erreurs : nous étudions l'EQM !**

# SÉLECTION DE PARAMÈTRES : BRUIT GAUSSIEN

- ▶ Ajout d'une variable aléatoire à chaque valeur :

$$Y_p^b = X_p^b + \varepsilon_p^b \quad \text{où} \quad \varepsilon_p^b \sim \mathcal{N}(0, \sigma_\varepsilon^2 = 20^2) \text{ iid} \quad (9)$$

- ▶ Calculs de l'EQM pour  $K$  dans  $\{3, 4, \dots, 15\} \cup \{20, 25, \dots, 50\}$  et  $\text{sigma}$  dans  $\{0.1, 0.15, \dots, 1.5\}$  :

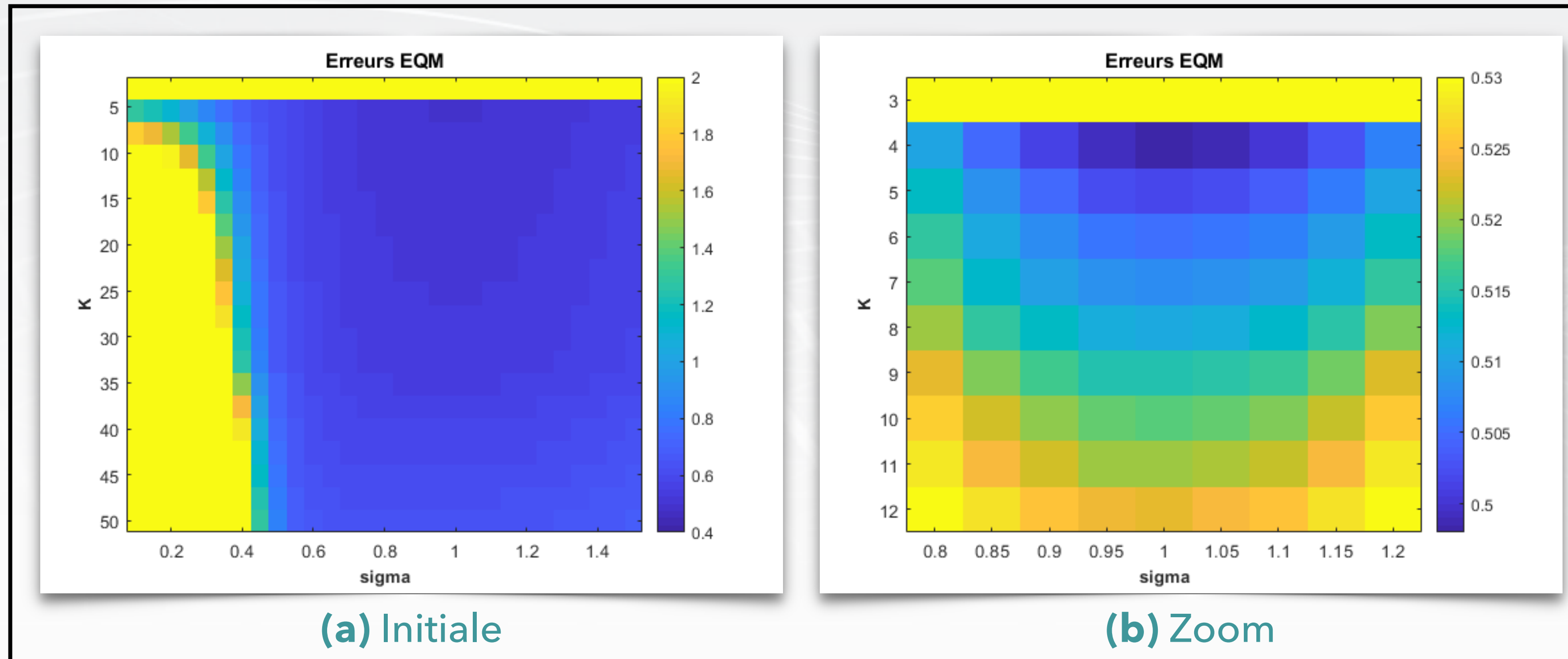


Figure 9 : EQM pour différents  $K$  et  $\text{sigma}$

avec bruit gaussien additif

★ Paramètres optimaux :

$$K = 4$$

$$\text{sigma} \approx 1.008$$

## SÉLECTION DE PARAMÈTRES : BRUIT GAUSSIEN

- ▶ L'estimation de l'écart-type du bruit par MAD : 19.4
- ▶ Une fois réduit, elle vaut : 0.41
- ▶ Introduction d'un **ratio**  $r$  qui multipliera l'estimation automatique :

$$\mathbf{sigma} = 1.008 = r \times 0.41 = 2.46 \times 0.41 \quad (10)$$

# RÉSULTATS SUR LES DONNÉES RÉELLES

## ÉCHANTILLON BIOLOGIQUE

- ▶ Échantillon contenant de l'azote (N), du carbone (C) et de l'oxygène (O)
- ▶ Choix de  $K$  le nombre de composantes :

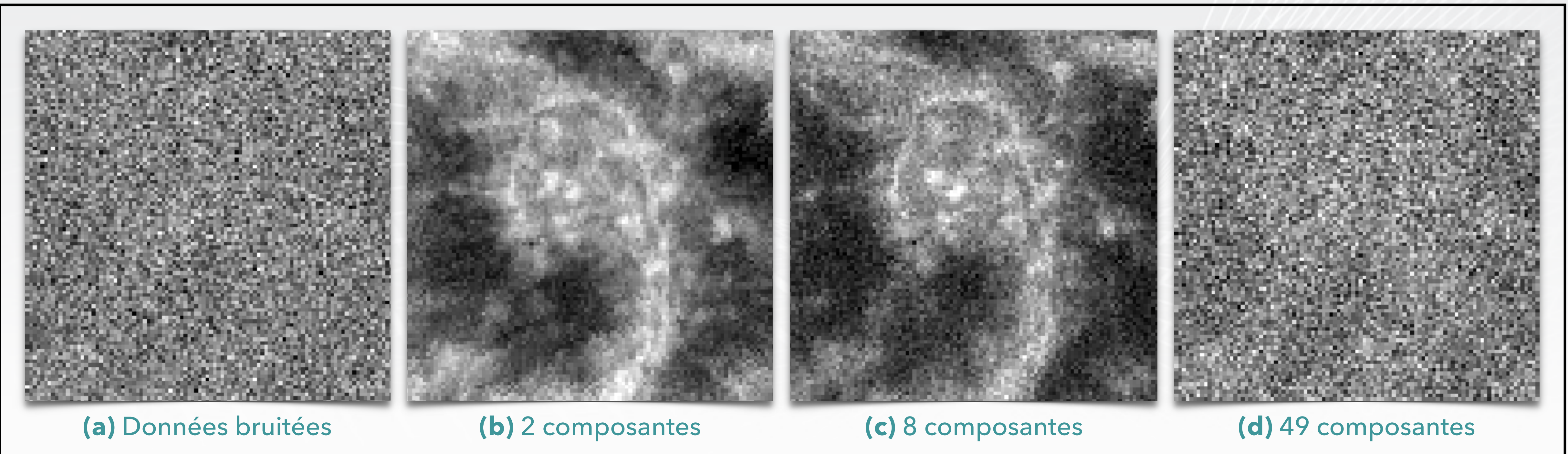
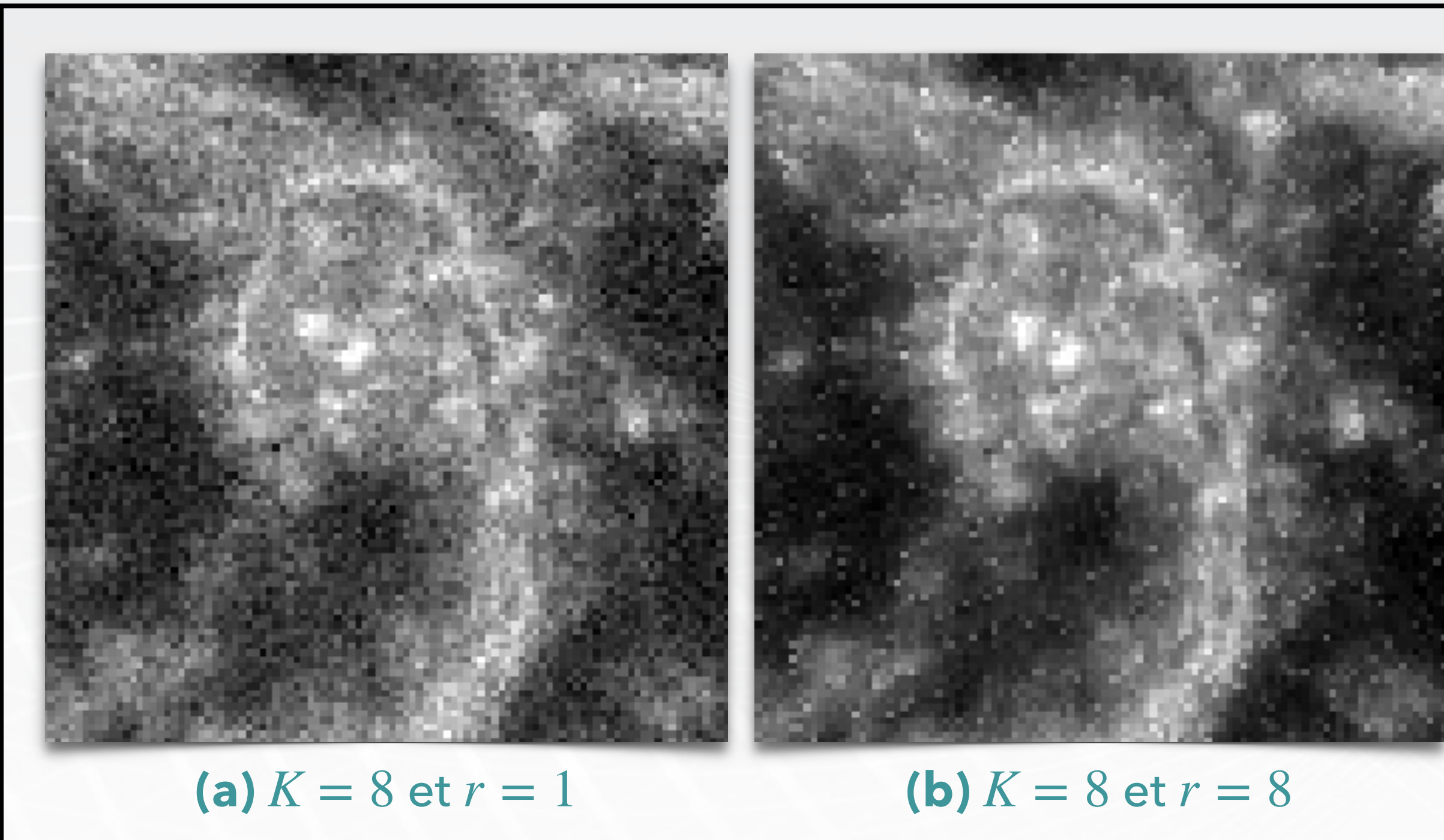


Figure 10 : Cartes chimiques de l'azote pour différents  $K$

## ÉCHANTILLON BIOLOGIQUE

- Choix de **sigma** à travers le ratio  $r$  :



★ Paramètres optimaux :

$$K = 8$$

$$r = 8$$

$$\mathbf{sigma} = 8 \times 0.33 = 2.64$$

Figure 11 : Cartes chimiques de l'azote pour différents  $r$

## ÉCHANTILLON BILOGIQUE

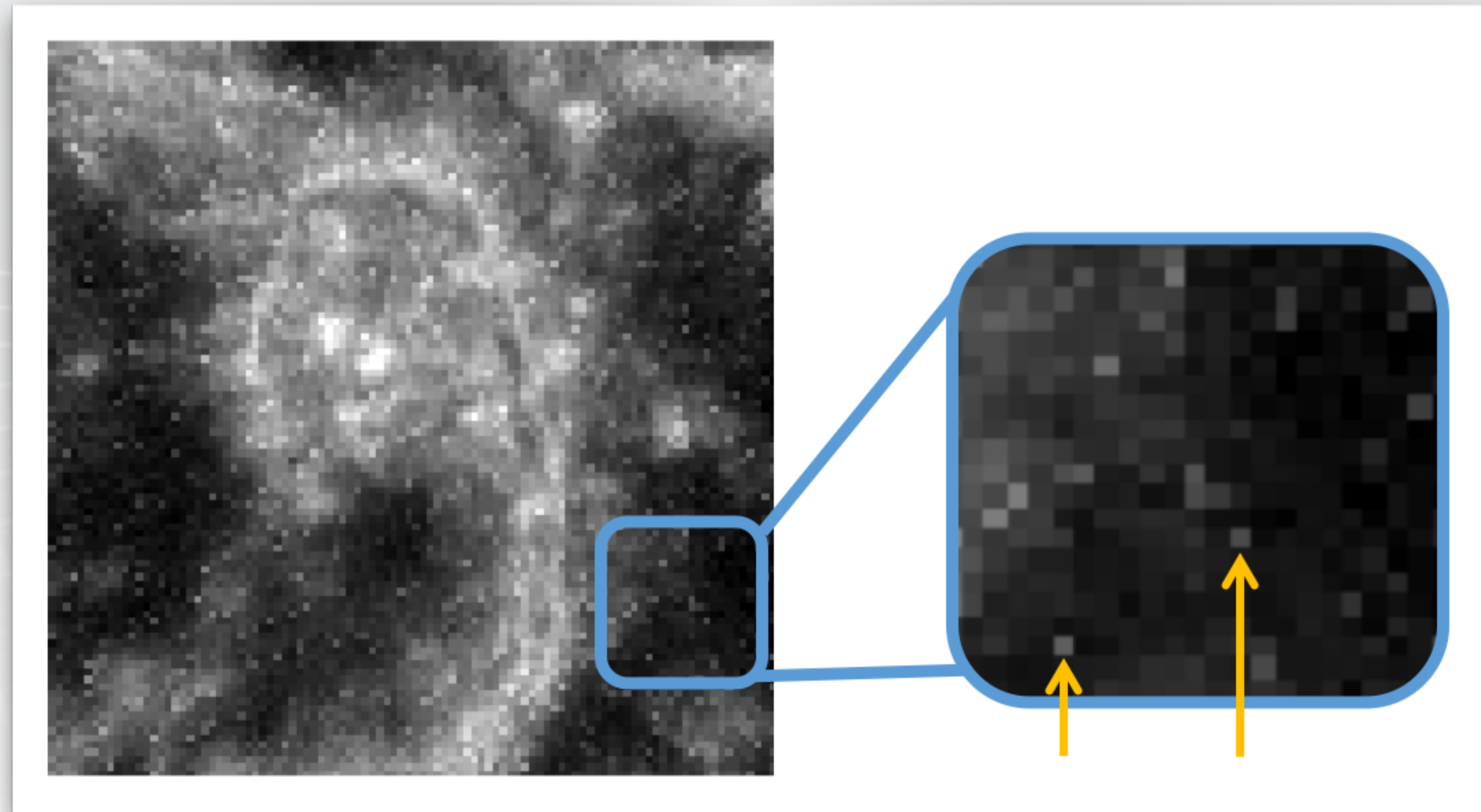


Figure 12 : Pixels blancs qui apparaissent après débruitage

## ÉCHANTILLON SmCeO<sub>2</sub>

- ▶ Échantillon contenant du samarium (Sm) et cérium (Ce)
  - ▶ Samarium présent en petite quantité : difficile de le voir apparaître sur sa carte chimique
- ▶ Débruitage sur l'hypercube en entier : résultats peu concluant
- ▶ Solution : **isoler les pics** du samarium puis les débruiter

## ÉCHANTILLON $\text{SmCeO}_2$ : pics isolés

- Choix de  $K$  le nombre de composantes :

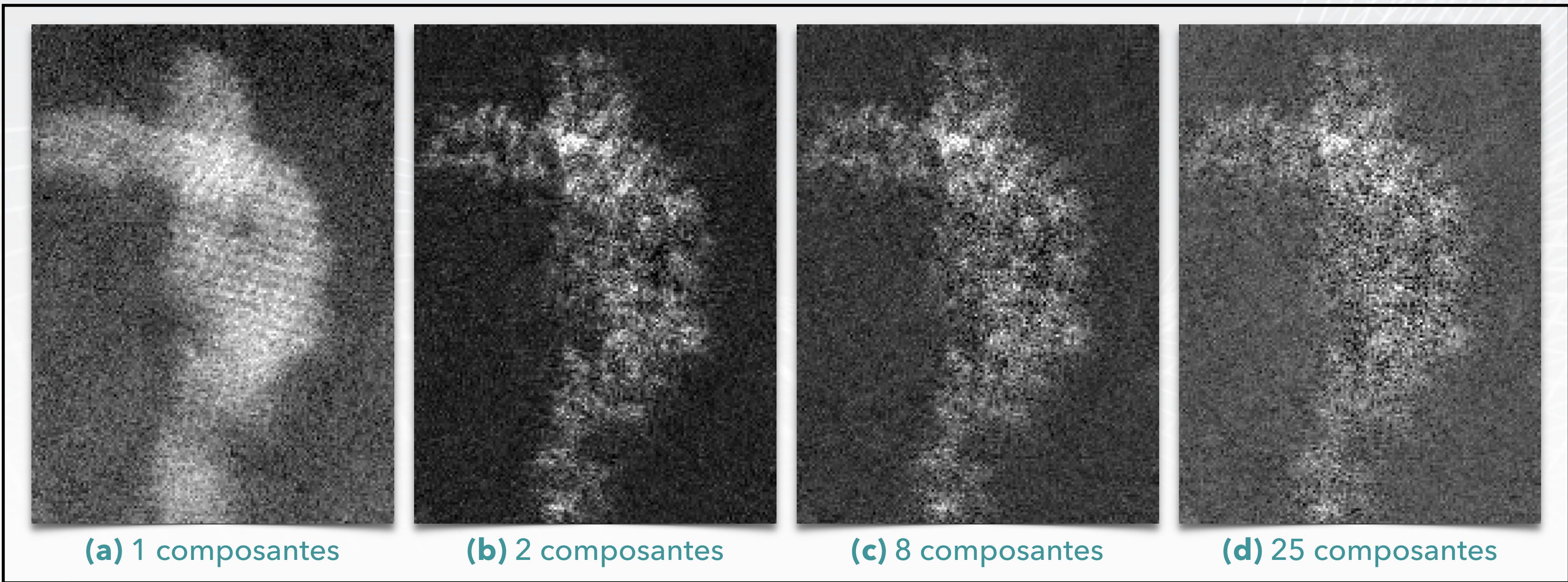


Figure 13 : Cartes chimiques du samarium pour différents  $K$

## ÉCHANTILLON SmCeO<sub>2</sub> : pics isolés

- Choix de **sigma** à travers le ratio  $r$  :

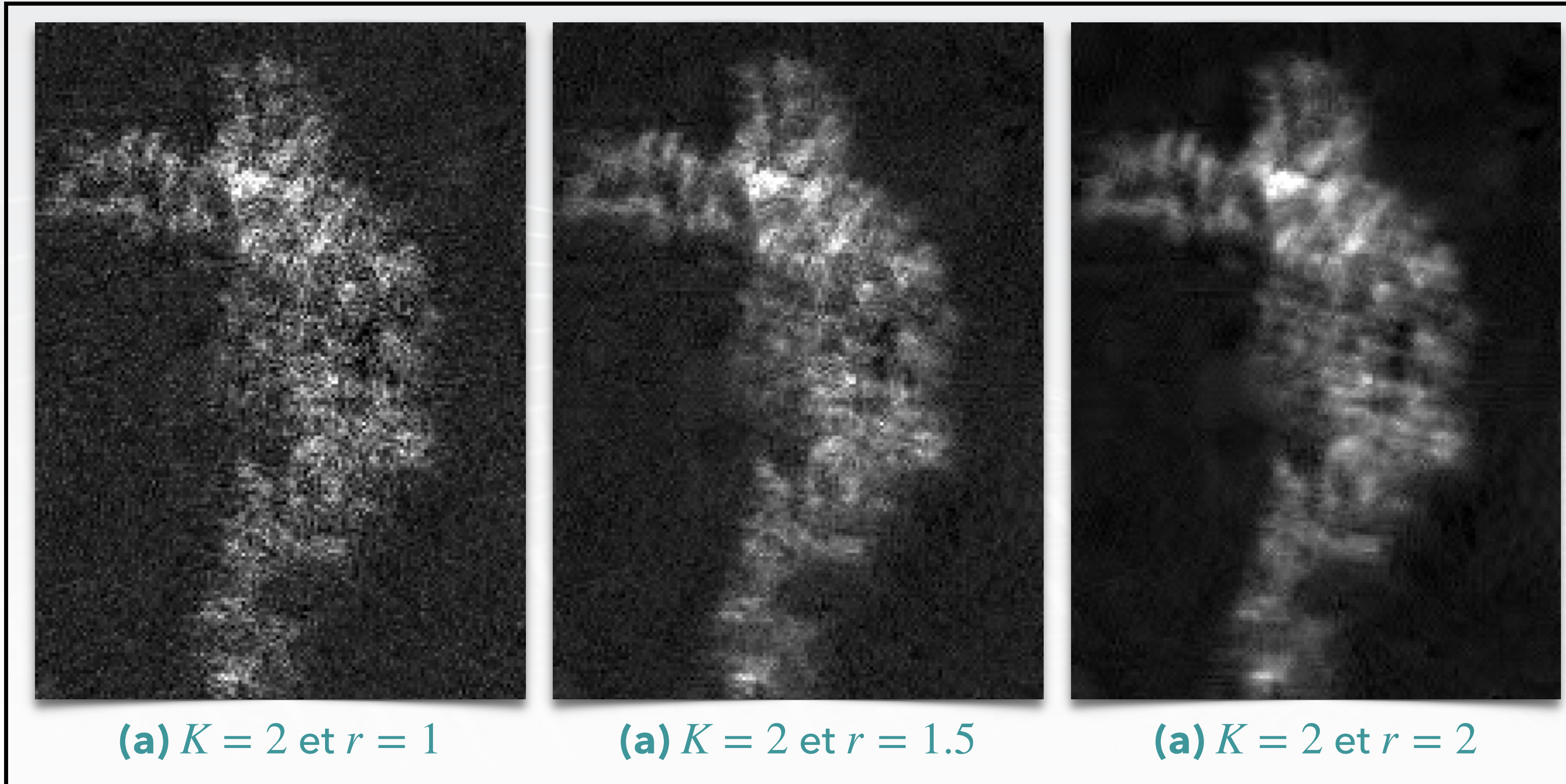


Figure 14 : Cartes chimiques du samarium pour différents  $r$

★ Paramètres optimaux :

$$K = 2$$

$$r = 1.5$$

$$\text{sigma} = 1.5 \times 6.23 = 9.345$$

## CONCLUSION PARTIELLE

- ▶ Choix du nombre de composantes  $K$  : facile à déterminer
- ▶ Choix de **sigma** : plus délicat, permet d'affiner le débruitage
  - ▶ Introduction du ratio importante : améliore nettement les résultats
- ▶ Spim synthétique trop classique : ne reflète pas le cas du samarium
- ▶ Résultats plutôt satisfaisants

# GÉNÉRALISATION DE LA DÉMARCHE

## ADAPTER A-BM3D AU BRUIT POISSONNIEN ET MIXTE

- ▶ Données de l'équipe STEM polluées par du bruit mixte  $\Rightarrow$  généraliser l'algorithme afin d'améliorer les résultats
- ▶ Outil : transformer préalablement les données afin de convertir le bruit poissonnien ou mixte en bruit gaussien additif

# TRANSFORMÉE D'ANScombe

- ▶ Transformée d'Anscombe :

$$\mathcal{T}^{Ans}(y) = 2\sqrt{y + \frac{3}{8}} \quad (11)$$

- ▶  $y$  : données avec bruit poissonnien de moyenne  $m$
- ▶  $\mathcal{T}^{Ans}(y)$  : données avec bruit gaussien de moyenne :  $2\sqrt{m + \frac{3}{8}} - \frac{1}{4\sqrt{m}} + \mathcal{O}\left(\frac{1}{m^{3/2}}\right)$  et d'écart-type :  $1 + \mathcal{O}\left(\frac{1}{m^2}\right)$
- ▶ **Inversion** de la transformée d'Anscombe<sup>1</sup> : approximation de l'inverse non biaisée :

$$\mathcal{I}^{Ans}(z) = \frac{1}{4}z^2 + \frac{1}{4}\sqrt{\frac{3}{2}}z^{-1} - \frac{11}{8}z^{-2} + \frac{5}{8}\sqrt{\frac{3}{2}}z^{-3} - \frac{1}{8} \quad (12)$$

- ▶ Version généralisée : transforme le bruit mixte en bruit gaussien additif

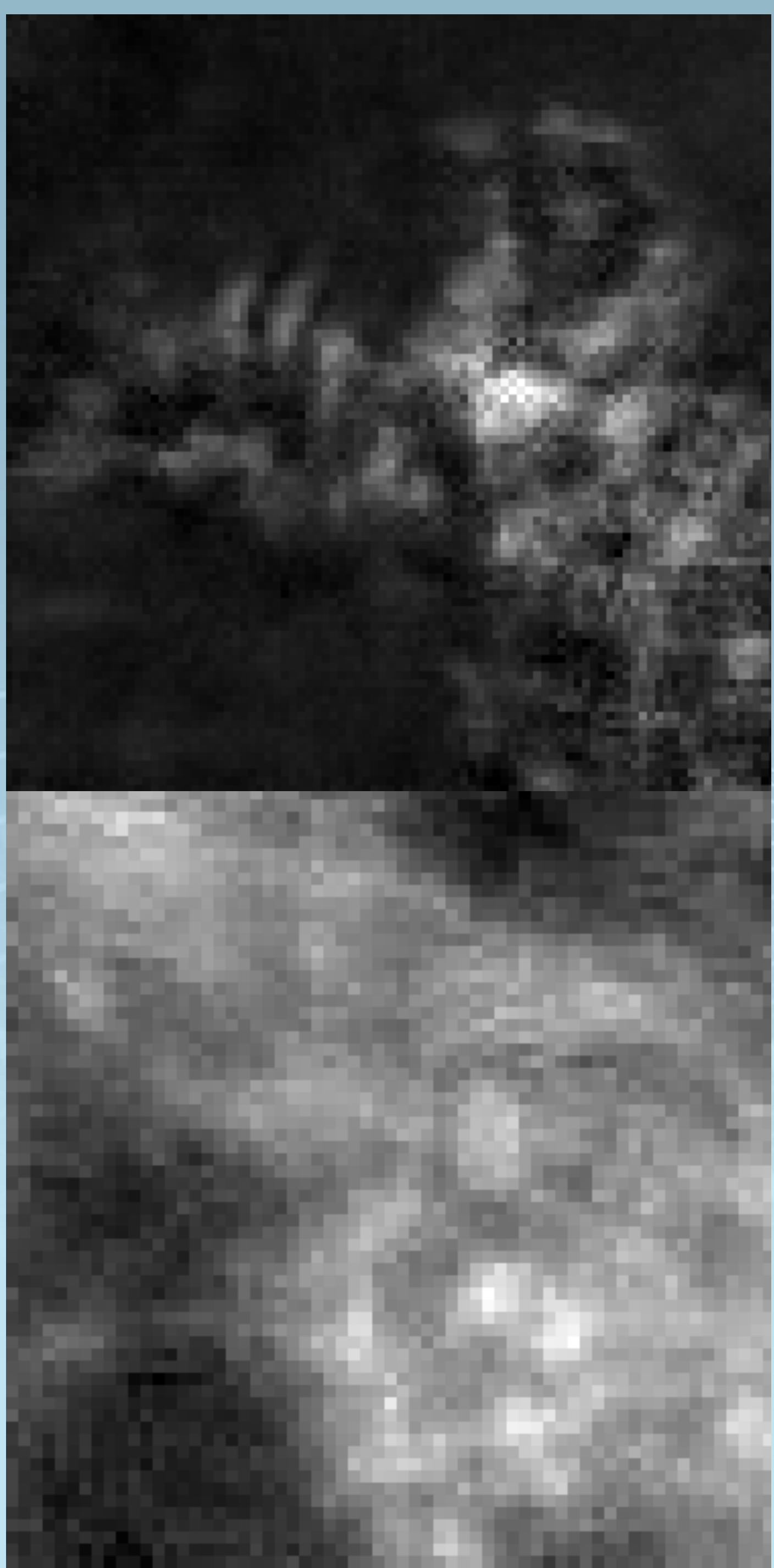
<sup>1</sup>M. Mäkitalo and A. Foi, « A closed-form approximation of the exact unbiased inverse of the Anscombe variance-stabilizing transformation » IEEE Transactions on Image Processing, 20(9) :2697-2698, 2011.

# CONCLUSION

- ▶ Transformée d'Anscombe classique et généralisée :
  - ▶ Résultats décevants : aucune amélioration !
  - ▶ Utilisation de A-BM3D sans transformée
- ▶ Données synthétiques :
  - ▶ difficiles à construire
  - ▶ importantes pour l'ajustement de l'utilisation des algorithmes
  - ▶ permet une évaluation quantitative du débruitage
- ▶ Approche séquentielle A-BM3D : méthode pas trop lourde et rapide
- ▶ Débruitage spatial efficace  $\implies$  améliorations possibles ?
- ▶ Débruitage spectral trop léger  $\implies$  changer l'ACP par une autre méthode

# AMÉLIORATIONS ET CHANGEMENTS POSSIBLES

- ▶ Création d'une base d'images hyperspectrales synthétiques
- ▶ Remplacer BM3D par une autre méthode de débruitage spatial 2D
- ▶ Remplacer l'ACP par une autre approche par sous-espace : améliorer le filtrage du signal
- ▶ Tester une approche jointe : amélioration d'une approche standard
  - ▶ Tests de 3D NL-Means : pas de nette amélioration !
- ▶ Intégrer du Machine Learning ou du Deep Learning



MERCI POUR VOTRE ATTENTION !

## VALEUR DEVANT MAD

- X une matrice quelconque, estimateur de l'écart-type :

$$\hat{\sigma} = k \times \text{MAD}(X)$$

- Il faut vérifier :

$$\mathbb{P}(|X - \mu| \leq \text{MAD}) = \frac{1}{2}$$

- Soit :

$$\mathbb{P}\left(\frac{|X - \mu|}{\sigma} \leq \frac{\text{MAD}}{\sigma}\right) = \frac{1}{2} \iff \Phi\left(\frac{\text{MAD}}{\sigma}\right) - \Phi\left(\frac{-\text{MAD}}{\sigma}\right) = \frac{1}{2}$$

- D'où :

$$\frac{\text{MAD}}{\sigma} = \Phi^{-1}\left(\frac{3}{4}\right) = 0.67448$$

- Donc :

$$\hat{\sigma}_\varepsilon = \text{MAD}(Y^b) / 0.67448$$

# INVERSION DE LA TRANSFORMÉE D'ANScombe

- ▶ Inverse directe :

$$\mathcal{J}_A(z) = \left(\frac{z}{2}\right)^2 - \frac{3}{8}$$

- ▶ Inverse asymptotiquement non biaisée :

$$\mathcal{J}_B(z) = \left(\frac{z}{2}\right)^2 - \frac{1}{8}$$

- ▶ Inverse non biaisée :

$$\mathcal{J}_C : \mathbb{E}[f(z) | y] \mapsto \mathbb{E}[z | y]$$

- ▶ Pour tout  $y$  :  $\mathbb{E}[z | y] = y$
- ▶ Calculer :  $\mathbb{E}[f(z) | y] = \sum_{z \geq 0} \mathcal{T}^{Ans}(z) p(z | y)$

- ▶ Où :  $p(z | y) = \frac{y^z e^{-y}}{z!}$

$$\mathbb{E}[f(z) | y] = 2 \sum_{z \geq 0} \left( \frac{y^z e^{-y}}{z!} \times \sqrt{z + \frac{3}{8}} \right)$$

## INVERSION DE LA TRANSFORMÉE D'ANScombe

- ▶ Approximation de l'inverse non biaisée : ajout d'un terme non constant à  $\mathcal{J}_B$
- ▶ Ce terme doit vérifier :

$$\left\{ \begin{array}{l} \mathcal{J}_C\left(2\sqrt{\frac{3}{8}}\right) = \mathcal{J}_A\left(2\sqrt{\frac{3}{8}}\right) = \mathcal{J}_B\left(2\sqrt{\frac{3}{8}}\right) - \frac{1}{4} = 0 \\ \lim_{z \rightarrow +\infty} \mathcal{J}_C(z) - \mathcal{J}_B(z) = 0 \end{array} \right.$$

$$\Rightarrow \tilde{\mathcal{J}}_C(z) = \begin{cases} \mathcal{J}_B(z) - \frac{1}{4} \left[ \alpha \left( z\sqrt{\frac{2}{3}} \right)^{-1} + \beta \left( z\sqrt{\frac{2}{3}} \right)^{-2} + (1 - \alpha - \beta) \left( z\sqrt{\frac{2}{3}} \right)^{-3} \right] & \text{si } z \geq 2\sqrt{\frac{3}{8}} \\ 0 & \text{sinon} \end{cases}$$

## INVERSION DE LA TRANSFORMÉE D'ANScombe

- Choix de  $\alpha$  et  $\beta$  : minimisation du critère suivant :

$$\Phi = \int_{-\infty}^{+\infty} \frac{1}{y^2} \tilde{\mathcal{J}}_C \left( \mathbb{E} [f(z) | y] - y \right)^2 dy$$

$$\implies \alpha = -1 \text{ et } \beta = \frac{11}{3}$$

$$\tilde{\mathcal{J}}_C(z) = \frac{1}{4}z^2 + \frac{1}{4}\sqrt{\frac{3}{2}}z^{-1} - \frac{11}{8}z^{-2} + \frac{5}{8}\sqrt{\frac{3}{2}}z^{-3} - \frac{1}{8}$$